Géologie de la région du lac Richardie

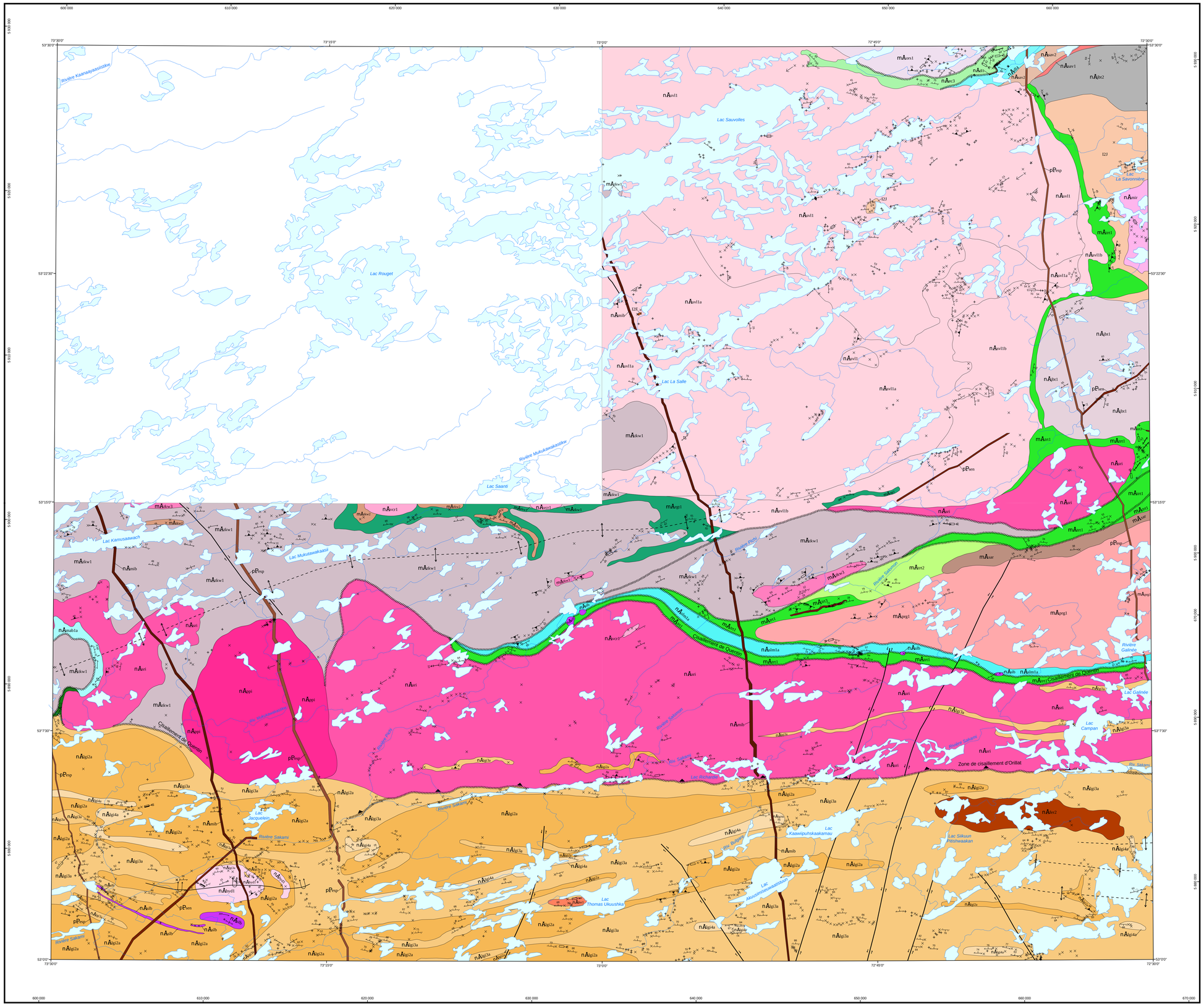

LÉGENDE STRATIGRAPHIQUE

PALÉOPROTÉROZOÏQUE

Dykes du Lac Esprit (2069 ±1 Ma, Hamilton *et al.*, 2001)

- pPdesp — Diabase (gabbronorite)

Dykes de Senneterre (2221 ±4 Ma et 2216 +8/-4 Ma, Davis, communication personnelle 2015; Buchan *et al.*, 1996)

- pPdsen — Diabase (gabbronorite)

NÉOARCHÉEN

Essaim de dykes de Mistassini (2515 ±3 Ma, Hamilton, 2009; 2503 ±2 Ma, Davis, communication personnelle 2015)

- nAdmib — Diabase (gabbronorite) localement porphyrique à plagioclase

Granite du Vieux Comptoir (2618 +18/-13 Ma et 2618 ±2 Ma, Goutier *et al.*, 1999b et 2000)

- nAvcr1 — Granite pegmatitique à biotite et muscovite, localement à tourmaline

Suite de Lablois (>2619,6 +1,9/-1,4 Ma, David *et al.*, 2011a)

- nAvlb — Métawebstérite à olivine avec ou sans phlogopite, communément porphyroblastique à orthopyroxène; métawebstérite à anthophyllite

Suite de Joubert

- nAjbt2 — Alternance décimétrique de gneiss tonalitique et dioritique, à biotite et hornblende
- nAjbt1 — Tonalite et granodiorite à biotite et magnétite foliées, rubanées ou gneissiques

Suite de Richardie

- nAvri — Granodiorite à biotite, magnétite et hornblende porphyrique à feldspath potassique; niveaux de tonalite et de diorite foliées à hornblende et biotite

Pluton de Pichi (2693,2 ±5,4 Ma, Davis, communication personnelle 2015)

- nAvpi — Granodiorite à hornblende, biotite et magnétite porphyrique à feldspath potassique; localement avec diorite

SOUS-PROVINCE D'OPINACA

Suite intrusive de Boyd

- nAbyd1 — Granite

Suite de Féron (2710 ± 2,4 Ma, Augland *et al.*, 2016)

- nAdor — Diorite
- nAtr1 — Ensemble de monzonite foliée et de monzodiorite migmatitisée

Complexe de Laguiche (>2710 Ma, Augland *et al.*, 2016, plus métamorphiques à 2663 Ma et 2613 Ma)

- nAlgi4a — Diatexite de paragneiss à biotite avec ou sans grenat contenant plus de 50 % de mobilisat
- nAlgi3a — Métatexite de paragneiss à biotite avec ou sans grenat contenant de 10 à 50 % de mobilisat
- nAlgi2a — Paragneiss de wacke à biotite avec ou sans grenat contenant moins de 10 % de mobilisat

SOUS-PROVINCE DE LA GRANDE

Suite de Laribioisière

Pluton de Miramar

- nAmir — Granodiorite à biotite et magnétite porphyrique à phénocristaux de quartz

Pluton de Sauvolles (2708 ±7 Ma et 2698 ±14 Ma, Davis *et al.*, 2015; Davis, communication personnelle 2015)

- nAvl1 — Granite à biotite massif à peu folié avec enclaves de nature variée
  - nAvl1b — Ensemble de granodiorite à biotite et de granite à biotite avec enclaves de tonalite foliée
  - nAvl1a — Granite à biotite, hornblende et magnétite massif à peu folié avec enclaves de nature variée

Formation de Marbot (<2702 ±2 Ma, David *et al.*, 2011)

- nAmb1a — Paragneiss dérivé de wacke, à biotite, sillimanite et muscovite et métatexite de paragneiss à biotite

Formation de la rivière Salomon (<2708 Ma, David, communication personnelle 2015)

- nAslm1a — Métaroche mylonitisée de paragneiss à biotite; diatexite de paragneiss à biotite et paragneiss de wacke à biotite

Groupe de Duhesme

Formation de Dalmas (<2698 Ma, David, communication personnelle 2016)

- nAdl4 — Paragneiss dérivé de wacke; rares niveaux conglomératiques
- nAdl3 — Formation de fer

Formation de l'Escale (2707,5 ±1 Ma et 2706,4 ±0,8 Ma, David, communication personnelle 2015)

- nAec1 — Ensemble composé principalement d'amphibolites dérivées de basaltes et d'andésites; niveaux métriques de métavolcanites felsiques et de formation de fer

Pluton de La Savonnière (2741,7 ±0,8 Ma, David, communication personnelle 2015)

- nAsav2 — Diorite et diorite quartzifère foliées
- nAsav1 — Ensemble de tonalite à biotite, de granodiorite à biotite et magnétite et de granite à biotite ± magnétite foliés

Formation de Corvette (2742 ±28 Ma, Davis *et al.*, 2014)

- nAcv1 — Amphibolites foliées à mylonitisées dérivées de volcanites intermédiaires à mafiques

MÉSOARCHÉEN

Métagabbro de Sarane (2820 ±9 Ma, Davis *et al.*, en préparation)

- mAsar — Amphibolite dérivée de gabbro

Intrusion d'Orsigny (2823,1 ±7,4 Ma, David, communication personnelle 2015)

- mAors1 — Tonalite foliée à biotite ± hornblende ± magnétite

Pluton de la Rivière Galinée (2824,2 ±6,2 Ma, David, communication personnelle 2016)

- mAprg1 — Granodiorite et tonalite foliées, à biotite et magnétite

Intrusion de Kamusaawach (2831 ±0,6 Ma, Augland *et al.*, 2016)

- mAkw3 — Granodiorite à biotite et magnétite ± hornblende généralement foliée
- mAkw2 — Diorite et diorite quartzifère granoblastiques et foliées
- mAkw1 — Tonalite foliée à biotite, souvent à hornblende, ± magnétite; injections de granite

Formation de Trieste (2839,2 ±5,6 Ma, David, communication personnelle 2015)

- mAtr3 — Formation de fer au faciès des oxydes et des silicates
- mAtr2 — Amphibolite dérivée de roches volcaniques intermédiaires
- mAtr1 — Ensemble de mylonites et d'amphibolites rubanées dérivées de basalte

Formation de Rouget (2845 ±6 Ma, Davis *et al.*, 2015)

- mArg1 — Amphibolites dérivées de roches volcaniques mafiques et intermédiaires

LÉGENDE LITHOLOGIQUE

NÉOARCHÉEN

- I2F — Monzonite
- I2J — Diorite

Les symboles et abréviations utilisés sur cette carte sont décrits dans la publication DV 2014-06 du ministère de l'Énergie et des Ressources naturelles.

Localisation

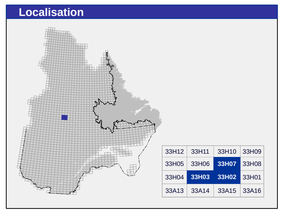

Métadonnées

Surface de référence géodésique :	Ellipsoïde GRS 80
Système de référence géodésique :	NAD 83 compatible avec le système mondial WGS 84
Projection cartographique :	Mercator transverse universelle (MTU), fuseau 18
Longitude d'origine :	73°0'
Latitude d'origine :	0°

Sources

Données	Organisme
Base de données topographiques et administratives à l'échelle de 1/250 000 (BDTA 250k)	Ministère de l'Énergie et des Ressources naturelles

Réalisation

Géologie :	Joséphine Gigon, Jean Goutier, William Chartier-Montreuil (2013)
Références :	Barrette, J.-P. (1996) - GM 54237 Carova, E. (2002) - GM 60564 Grenier, L., Savard, M., Archer, P. (2006) - GM 62531 Hocq, M. (1985) - ET 83-05 Larivière, J.-F., Banville, R. (2009) - GM 64528 Larivière, J.-F., Banville, R., Gagnon, R. (2009) - GM 64679 Larivière, J.-F., Banville, R. (2013) - GM 67512 Larose, P.-Y., Goyer, M., Picard, M., Lavoie, L. (1978) - GM 34175 Lavoie, S. (2003) - GM 61567 Turgeon, D., Oswald, R. (2007) - GM 63308
Assistance technique :	Julie Sauvageau
Production :	Ministère de l'Énergie et des Ressources naturelles Direction générale de Géologie Québec
Diffusion :	Ministère de l'Énergie et des Ressources naturelles Direction de l'information géologique du Québec

Le présent document n'a aucune portée légale
Dépôt légal - Bibliothèque et Archives nationales du Québec
© Gouvernement du Québec, 3e trimestre 2017

RG-2016-04-C001

Carte du rapport RG 2016-04
Pour obtenir les données les plus récentes concernant cette région, nous vous suggérons de consulter les produits géomatiques du Système d'information géominière du Québec (SIGÉOM)

SIGÉOM
Système d'information géominière du Québec

Énergie et Ressources naturelles
Québec